

پهنه‌بندی خطر زمین‌لغزش با استفاده از مدل ANP (مطالعه موردی: حوضه پیوه‌زن دامنه جنوبی بینالود)

ابوالقاسم امیراحمدی* - دانشیار دانشکده جغرافیا و علوم محیطی، دانشگاه حکیم سبزواری
علی شکاری بادی - دانشجوی کارشناسی ارشد هیدرولوژی و ژئومورفولوژی در برنامه‌ریزی محیطی، دانشگاه حکیم سبزواری
محمد معتمدی راد - دانشجوی دکتری ژئومورفولوژی، دانشگاه حکیم سبزواری
مریم بینقی - کارشناس ارشد ژئومورفولوژی در برنامه‌ریزی محیطی، دانشگاه حکیم سبزواری

تأیید نهایی: ۱۳۹۴/۱۲/۱۸ پذیرش مقاله: ۱۳۹۴/۰۶/۲۵

چکیده

رخدادهای طبیعی فرآیندهای پیچیده‌ای هستند که بر تمامی بخش‌های کره زمین تأثیرگذارند که در این بین زمین‌لغزش به عنوان یکی از مهم‌ترین عضلات جهانی باعث خسارات عدیدهای به مناطق مسکونی، جاده‌ها، زمین‌های کشاورزی و... می‌گردد که با شناسایی عوامل مؤثر در وقوع حرکت‌های توده‌ای و پهنه‌بندی آن، می‌توان کمک مؤثری در تدوین برنامه مدیریت خطر و کاهش خسارات ناشی از وقوع این پدیده نمود. هدف از انجام این پژوهش نیز پهنه‌بندی خطر زمین‌لغزش با استفاده از مدل تحلیل شبکه (ANP) در حوضه پیوه‌زن دامنه جنوبی بینالود می‌باشد. بدین‌منظور، لایه‌های اطلاعاتی ۱۰ عامل: ارتفاع، بارش، شیب، جهت شیب، زمین‌شناسی، تراکم پوشش گیاهی، کاربری اراضی، فاصله از جاده، فاصله از رودخانه و فاصله از گسل تهیه شد. سپس جهت تهیه نقشه پهنه‌بندی از مدل ANP استفاده گردید. نتایج حاصل از این مدل نشان می‌دهد که عوامل فاصله از رودخانه و فاصله از جاده به ترتیب بیشترین امتیاز وزنی (۰.۲۲۸، ۰.۲۰۴ و ۰.۲۰۰) و شیب و جهت شیب کمترین وزن (۰.۱۲، ۰.۰۲۱ و ۰.۰۰۲۱) را در حوضه مطالعه به خود اختصاص دادند. از تعداد ۳۱ زمین‌لغزش رخداده در حوضه مطالعاتی، ۱۷ زمین‌لغزش در فاصله ۵۰-۰ متری و ۱۴ زمین‌لغزش دیگر در فاصله از ۱۵۰-۵۰ متری از رودخانه به وقوع پیوسته است که نشان از تأثیر مستقیم و مهمنه فرسایش و زیر‌شوابی رودخانه می‌باشد. همچنین فعالیت‌های انسانی نظیر جاده‌سازی در حوضه موردنظر خطر وقوع زمین‌لغزش را چندین برابر نموده است به طوری که ۲۲ زمین‌لغزش در فاصله ۰-۵۰۰ متری از راه‌های ارتباطی، رخ افتاده و راه‌ها را مورد هجوم خود قرارداده‌اند. در نهایت، بر اساس نتایج حاصل از این پژوهش و انطباق داده‌های زمین‌لغزشی و مشاهدات میدانی، می‌توان گفت مدل ANP می‌تواند به عنوان مدلی مناسب و کارآمد برای پیش‌بینی پدیده لغزش به کار گرفته شود به طوری که در پژوهش حاضر ۶۴/۵ درصد زمین‌لغزش‌های حوضه در پهنه‌های خیلی زیاد و زیاد به وقوع پیوسته است.

وازگان کلیدی: زمین‌لغزش، مدل ANP، حوضه پیوه‌زن، پهنه‌بندی.

مقدمه

یکی از انواع ناپایداری دامنه‌ای که هرساله خسارات مالی و جانی بسیاری را بر زندگی انسان‌ها وارد می‌کند پدیده زمین‌لغزش است. زمین‌لغزش پدیده‌ای طبیعی است که عبارت است از پایین افتادن یا حرکت یکپارچه و اغلب سریع حجمی از مواد رسوبی در امتداد دامنه‌ها (ایزدی، ۱۳۹۲، ۳۳، محمودی، ۱۳۸۲، ۴۳). زمین‌لغزش جزو خطرناک‌ترین پدیده‌های طبیعی در جهان است که باعث به وجود آمدن خسارات جانی و مالی زیادی می‌شود و درنتیجه بسیاری از منابع طبیعی و انسانی را تحت تأثیر قرار می‌دهد (آرپو و راوی سنکار، ۲۰۱۴، ۲۱۵). برطبق گزارشات جهانی مخاطرات طبیعی^۲ در سال ۲۰۱۲، لغزش در میان هفت بلایای طبیعی خطرناک جهان قرار گرفت (فتحی و همکاران، ۲۰۱۵، ۵۱۶). ارزیابی ناپایداری دامنه‌ای مانند بسیاری از موضوعات زمین‌شناسی محیطی، از پیچیده‌ترین مسائل است که بهدلیل تنوع عوامل مؤثر در وقوع ناپایداری دامنه‌هاست (پور هاشمی و همکاران، ۱۳۹۳، ۷۲). بروز پدیده‌ی زمین‌لغزش می‌تواند ناشی از عوامل متعدد زمین‌شناسی، ژئومورفولوژیکی، هیدرولوژیکی، بیولوژیکی و انسانی باشد (سایدل و اوچیایی، ۲۰۰۶، ۲۰۰۷).

یکی از وظایف مهم دانش ژئومورفولوژی کاربردی، بررسی موقعیت و ارزش محیط‌های انسانی خطرپذیر و آسیب‌پذیر در برابر انواع مخاطرات ژئومورفیک است (روزنفلد، ۲۰۰۴، ۴۲۳، مقمی و همکاران، ۱۳۹۲، ۱۰۴). مخاطرات ژئومورفولوژیکی نیز به‌احتمال ناپایداری پدیده‌های خاص ژئومورفولوژیکی گفته می‌شود که ممکن است در قلمرو معینی با بزرگی و دوره‌های زمانی مشخص رخ دهد (پانیزا، ۲۰۰۴، ۳۱۸). تمییز نقشه وقوع خطر زمین‌لغزش ازباری اساسی برای فعالیت‌های مدیریت بحران در نواحی کوهستانی است (کومار داهال، ۲۰۰۸، ۴۹۶). ایران نیز با توجه به شرایط آب‌وهوایی و توپوگرافی جزو کشورهایی است که وقوع زمین‌لغزش در مناطق مختلف آن باعث به وجود آمدن خسارات انسانی و مالی زیادی می‌شود. بهدلیل تعدد، تنوع، تکرار و شدت رخداد خطرات طبیعی و ناگارمی محیط، ایران در ردیف ده کشور بالاخیز جهان قرارگرفته است (محمدی و همکاران، ۲۰۰۴، ۱۳، مقمی و همکاران، ۱۳۹۱، ۷۸). بهطوری که بر اساس گزارش کمیته ملی کاهش بلایای طبیعی وزارت کشور سهم خسارات ناشی از حرکت‌های توده‌ای در ایران ۵۰۰ میلیارد ریال برآورد گردیده است (رمضانی و ابراهیمی، ۱۳۸۸، ۱۲۸).

طی سال‌های متمادی، مطالعات زیادی در زمینه‌ی پنهانی خطر زمین‌لغزش در داخل و خارج از کشور صورت گرفته است که می‌توان به موارد ذیل اشاره نمود:

سارولی^۳ (۲۰۰۱) با استفاده از روش رگرسیون خطی در کشور کره، یالسین^۴ (۲۰۰۸) در آردنین^۵ ترکیه، باهارات و همکاران (۲۰۱۳) در حوضه رودپا در کشور نپال، فیض‌نیا و همکاران (۱۳۸۳) در حوضه آبخیز شیرین رود سد تجن، عظیم‌پور و همکاران (۱۳۸۷) در حوضه آبریز اهرچای، زارع و همکاران (۱۳۸۹) در حوزه آبخیز وازیر با استفاده از روش تحلیل سلسله مراتبی (AHP) به پنهانی خطر زمین‌لغزش پرداختند. همچنین گورسوسکی و همکاران (۲۰۰۶) در جنگل ملی ویکی در مرکز آیداهو، ایالات متحده، پورهاشمی و همکاران (۲۰۱۲) در منطقه هراز، از روش تحلیل سلسله مراتبی و منطق

2- Arrapu and Ravi Sankar

3- global organization of natural dangers

3- Sidle and Ochiai

4- Rosenfeld

5- Panizza

7- Kumar Dahal

7- Sarolee

8- Ardesen

فازی، جهت تهیه پهنه‌بندی زمین‌لغزش استفاده نمودند. اما مطالعات محدودی در زمینه پهنه‌بندی زمین‌لغزش با استفاده از روش تحلیل شبکه (ANP)^۱ صورت گرفته است که می‌توان به موارد ذیل اشاره نمود: نیوبان^۲ (۲۰۰۶) به پهنه‌بندی خطر زمین‌لغزش با استفاده از مدل ANP در بخش شرقی نیال پرداخت و عوامل مختلف کنترل مانند سنگ‌شناسی، زاویه شیب، جهت شیب، کاربری اراضی، نزدیکی کanal و غیره را برای ارزیابی خطر زمین‌لغزش در نظر گرفت. وو^۳ و همکاران (۲۰۱۴) خطر زمین‌لغزش در تایوان را با استفاده از مدل WSN^۴ و ANP مورد بررسی قرارداد و مهم‌ترین عوامل خطر با استفاده از مدل K میانگین برای ساختن مدل پیش‌بینی مورد بررسی قرارداد. فتحی و همکاران (۲۰۱۵) به پهنه‌بندی خطر وقوع زمین‌لغزش در سانگورچ^۵ پرداخت. نامبرده در این تحقیق از روش‌های دورسنجی و روش ANP استفاده نمود و نشان داد که ۷۶ درصد از رانش‌هایی که در این منطقه رخداده در کلاس خطرناک و بسیار خطرناک قرار می‌گیرد و مدل (ANP) را مدلی مناسب برای پیش‌بینی پدیده لغزش معرفی کرد. مقیمی و همکاران (۱۳۹۲) به ارزیابی و پهنه‌بندی خطر زمین‌لغزش در شهر روذبار با درجات خطر کم (۴ درصد)، خطر متوسط (۷۱ درصد)، خطر بالا (۲۵ درصد)، تهیه نمودند که نشان از درصد بالای فرایندهای مخاطره‌زا در محدوده‌ی شهری است. نتایج حاصل از این پژوهش سهم عمدۀ عامل شیب و حساسیت لیتولوژی در زمین‌لغزش‌های منطقه مطالعاتی را نشان داد. رostاستی و همکاران (۱۳۹۳) به ارزیابی روش‌های تحلیل شبکه (ANP) و تحلیل چندمعیاره مکانی در بررسی پتانسیل وقوع زمین‌لغزش در محدوده محور مخزن سدها (سد قلعه چای) پرداخت و با تفسیر ضرایب نشان داد که کاربری اراضی، طبقات ارتفاعی و جهت دامنه‌ها نقش مهمی در وقوع زمین‌لغزش دارد.

با توجه به این مسائل، به جرأت می‌توان گفت که از جمله حساس‌ترین و مهم‌ترین مسائل در پروژه‌های عمرانی، مطالعه پایداری دامنه‌ها می‌باشد. درواقع زمین‌لغزش یک پدیده‌ی مخرب طبیعی است و باعث به وجود آمدن خسارات جبران‌ناپذیری می‌شود که دفع آن‌ها مستلزم صرف وقت و هزینه‌ی هنگفتی است. شناخت نواحی مستعد وقوع زمین‌لغزش و حرکات توده‌ای از ضروریات مدیریت منابع طبیعی و برنامه‌ریزی توسعه‌ای و عمرانی است. لذا با شناسایی عوامل مؤثر در وقوع حرکت‌های توده‌ای و پهنه‌بندی آن، می‌توان کمک مؤثری در تدوین برنامه مدیریت خطر و کاهش خسارت‌های ناشی از این پدیده نمود. هدف این پژوهش نیز پهنه‌بندی خطر زمین‌لغزش با استفاده از مدل تحلیل شبکه (ANP) در حوضه پیوه‌زن دامنه جنوبی بینالود می‌باشد. دامنه جنوبی رشته‌کوه چین‌خورده بینالود متشکل از سازندۀای آهکی (سازند بهرام) و سازندۀای نئوزن می‌باشد و فرایندهای جریانی و رودخانه‌ای از مهم‌ترین فرایندهای این منطقه کوهستانی می‌باشد که این امر خود زمینه وقوع حرکات دامنه‌ای را در این منطقه تسهیل می‌کند. بنابراین امید است با تهیه نقشه خطر زمین‌لغزش و شناسایی مناطق مورد تهدید بتوان کمک شایانی به برنامه‌ریزان در راستای کاهش خسارات احتمالی ناشی از وقوع این پدیده و یافتن مکان‌های امن‌تر جهت ساخت و توسعه تأسیسات و فعالیت‌های انسانی نمود.

موقعیت حوضه مورد مطالعه

حوضه پیوه‌زن در جنوب‌غربی شهرستان مشهد قرار دارد. حوضه از شمال به روستای مغان، از جنوب به روستای حاجی‌آباد و فخر داود، از غرب به روستای قاسم‌آباد و دیزباد بالا و از شرق به روستای اوارشک محدود می‌شود. روستای

1- Analytic Network Process

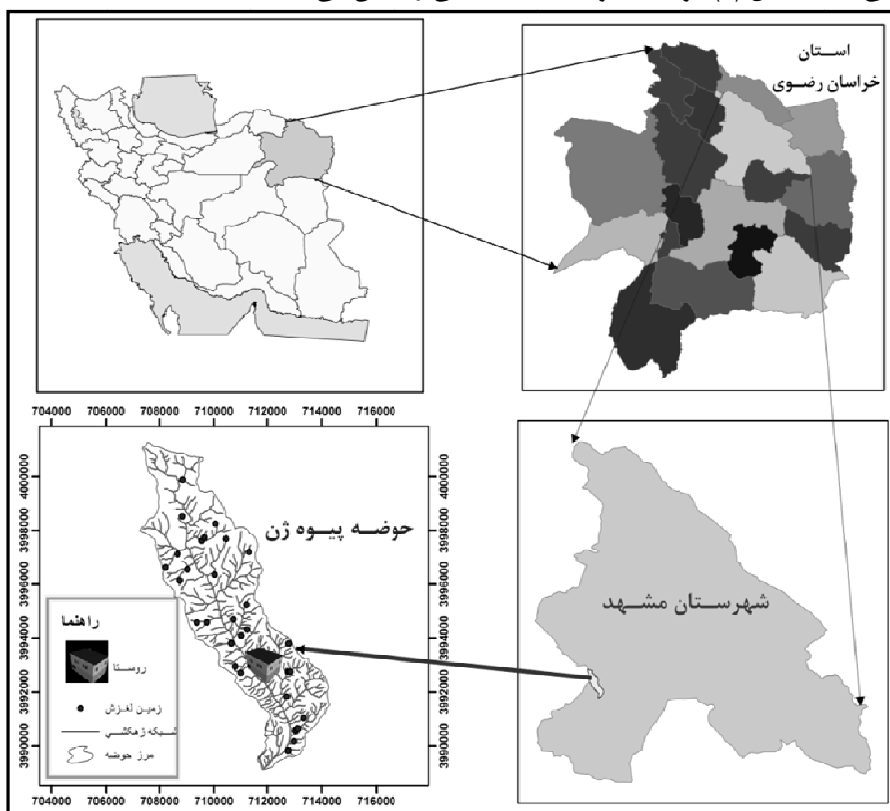
2- Neaupane

3- Wu

4- Wireless Sensor Networks

5- Sangorchay

پیوهن در داخل حوزه واقع شده است. فاصله روستای پیوهن از شهر مشهد حدود ۵۴ کیلومتر می‌باشد. محدوده موردمطالعه با مساحت $31/2$ کیلومترمربع، بخشی از زون بینالود می‌باشد و به دلیل موقعیت ویژه زمین‌شناسی آن، توالی نسبتاً ستری از سنگ‌های رسوبی، دگرگونی و آتش‌شکانی در آن وجود دارد. کهنه‌ترین آن‌ها به پالئوزوئیک تعلق داشته و جوان‌ترین آن‌ها نهشته‌های آبرفتی و پادگانه‌های جوان می‌باشند. به لحاظ لیتو‌لوژی بیشترین گسترش مربوط به واحد فیلیتی، شیلی و ماسه‌سنگی (سری مایان) است که در قسمت میانی و جنوبی حوزه واقع شده است. از نظر تکتونیکی و نوع زمین‌ساخت حوضه، یک سری چین‌خوردگی به صورت ساختمان ناویدیس در واحد TR3J1 شکل‌گرفته که دارای محور حدوداً شرقی - غربی می‌باشد. علاوه بر چین‌ها گسل‌های متعددی در قسمت‌های مختلف وجود دارد که از جمله آن‌ها می‌توان به گسل‌های راندگی در مرز شمالی و جنوبی واحد TR3J1 اشاره کرد که دارای امتدادی در جهت شمال‌غربی - جنوب‌شرقی می‌باشند. شکل (۱) موقعیت حوضه‌های مطالعه‌ی را نشان می‌دهد.



شکل ۱: موقعیت حوضه مطالعه

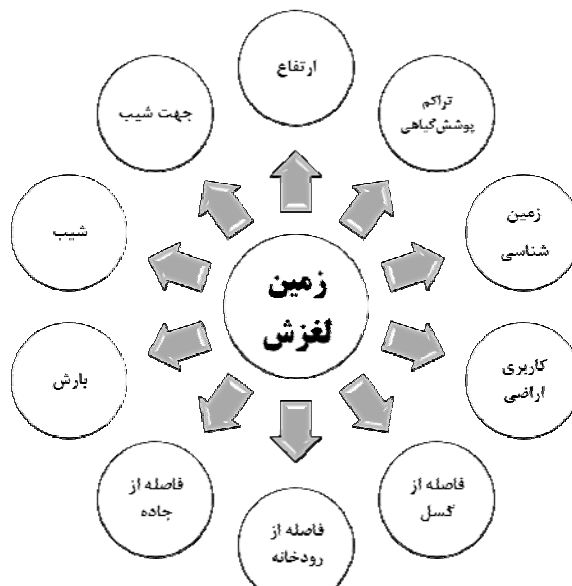
داده‌ها و روش‌ها

ابتدا به منظور شناسایی حوضه مطالعه در محدوده آلاذغ - بینالود از نرم‌افزار Google Earth استفاده شد. سپس با توجه به عدم دسترسی به نقشه‌های توپوگرافی ۱:۲۵۰۰۰، از نقشه‌های ۱:۵۰۰۰۰ مربوط به سازمان جغرافیایی نیروهای مسلح (سازمان جغرافیایی نیروهای مسلح) برای استخراج دقیق حوضه پیوهن، اطلاعات توپوگرافی مانند سطوح ارتفاعی، شیب توپوگرافی و جهت شیب و لایه‌های فاصله از جاده و فاصله از رودخانه استفاده گردید. در مرحله بعد برای استخراج اطلاعات زمین‌شناسی حوضه شامل جنس زمین‌شناسی و فاصله از گسل از نقشه زمین‌شناسی ۱:۱۰۰۰۰ منطقه مربوط به سازمان جغرافیایی نیروهای مسلح (سازمان جغرافیایی نیروهای مسلح) استفاده گردید. در ادامه، از نقشه کاربری اراضی و پوشش گیاهی با مقیاس ۱:۵۰۰۰۰ و آمار بارندگی ایستگاه‌های باران‌سنجی برای تهییه لایه‌های اطلاعاتی به کار گرفته شد.

به منظور جمع‌آوری اطلاعات، منابع کتابخانه‌ای مرتبط با موضوع تحقیق و گزارش‌های مطالعاتی منطقه مطالعه گردید. بخش مهمی از کار، تهیه پایگاه اطلاعات لغزش یا نقشه پراکندگی زمین‌لغزش‌های موجود در منطقه می‌باشد. برای تهیه اطلاعات مربوط به زمین‌لغزش‌ها از پرسشنامه‌ای که توسط دفتر مطالعات و ارزیابی آبخیزها معاونت آبخیزداری جهاد استان خراسان رضوی، گروه بررسی زمین‌لغزش‌ها تهیه شده بود، استفاده گردید.

تعیین معیارهای مؤثر در وقوع زمین‌لغزش

زمین‌لغزش متعلق به گروهی از فرآیندهای ژئومورفولوژیکی تحت عنوان حرکت توده‌ای معرفی شده است. حرکت توده‌ای شامل حرکت به سمت بیرون یا رو به پایین یک توده از مواد تشکیل‌دهنده دامنه تحت تأثیر نیروی گرانش می‌باشد (دانشمنامه جغرافیا، ۲۰۰۵، ۴). دانشمندان علوم زمین و جغرافی دانان به‌منظور پنهان‌بندی زمین‌لغزش از نوع و تعداد عوامل متفاوتی بهره گرفته‌اند. در این پژوهش، به بررسی ۱۰ شاخص از مهم‌ترین عوامل مؤثر در فرآیند زمین‌لغزش با توجه به استفاده از تجربیات کارشناسان و پژوهشگران در بررسی‌های صورت گرفته در مناطق مشابه پرداخته شده است. در شکل (۲) این عوامل ذکر شده‌اند.



شکل ۲: عوامل مؤثر در زمین‌لغزش

فرآیند تحلیل شبکه‌ای (ANP)

تحلیل سلسله مراتبی نظریه‌ای ریاضیاتی از ارزش، دلیل و قضاوت است که بر اساس مقیاس‌های نسبی جهت تجزیه و تحلیل مسائل تصمیم‌گیری چند معیاره استفاده می‌شود (Wolfslehner¹ و همکاران، ۲۰۰۵، ۱۵۹). این روش به تعاملات نسبتاً ثابت و یک‌سویه با بازخوردهای کمی بین اجزای تصمیم‌گیری و آلتنتاتیوها محدود است (Xan و Faisal²، ۲۰۰۸؛ Khan و Faisal³، ۱۵۰۲). با توجه به محدودیت‌ها و کمبودهایی که روش تحلیل سلسله مراتبی داشت، روش فرآیند تحلیل شبکه‌ای

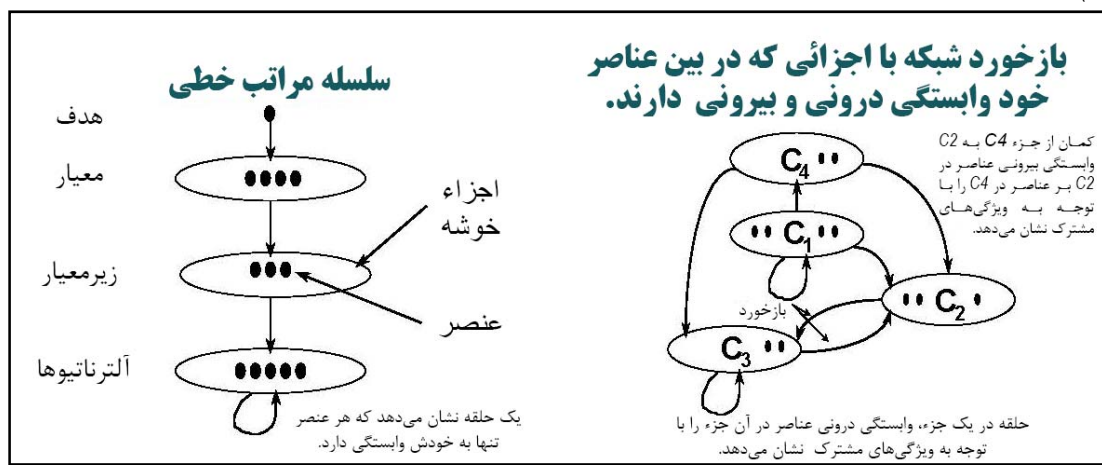
1- Wolfslehner

2- Khan and Faisal

3- Analytic Network Process

به وسیله توماس ال ساعتی در سال ۱۹۹۶ ابداع شد. درواقع این روش اصلاح شده فرآیند تحلیل سلسله مراتبی (AHP) می باشد(سلطانی و طالبی، ۱۳۹۲، ۱۱۲). فرآیند تحلیل شبکه ای، همه ویژگی های مثبت AHP، از جمله سادگی، انعطاف پذیری، به کارگیری معیارهای کمی و کیفی به طور همزمان و قابلیت بررسی سازگاری و قضاوت ها را دارد و علاوه بر آن، می تواند ارتباطات پیچیده (وابستگی های متقابل و بازخورد) بین عناصر تصمیم را به کارگیری ساختار شبکه ای به جای ساختار سلسله مراتبی در نظر بگیرد(جوادیان کوتایی و همکاران، ۱۳۹۳، ۱۵۹؛ زبردست، ۱۳۸۹، ۸۰). درواقع فرآیند تحلیل شبکه ای جامع ترین چارچوب برای تجزیه و تحلیل تصمیم گیری های عمومی، دولتی و شرکت های بزرگ است(تازکایا^۱ و همکاران، ۲۰۰۸، ۹۷۲). مدل تحلیل شبکه (ANP) از سلسله مراتب کنترل، خوشه ها، عناصر و روابط متقابل بین خوشه ها و عناصر تشکیل می شود(فرجی سبکبار و همکاران، ۱۳۸۹، ۱۳۳). خوش، مجموعه ای از عناصر مرتبط در یک شبکه یا خرد شبکه است. برای هر معیار کنترلی، خوشه ها و عناصر در نظر گرفته می شود. تمامی تعاملات و بازخورها در درون خوشه، تحت نام وابستگی درونی و تعاملات و بازخورها میان خوشه ها با عنوان وابستگی بیرونی شناخته می شوند. سلسله مراتب کنترلی، سلسله مراتب معیارها و زیرمعیارهای کنترلی است که برای آن ها اولویت ها به روش معمول به دست می آید؛ با عنایت به هدف سیستمی (شبکه ای) که بررسی می شود، معیارها برای مقایسه خوشه های سیستم (شبکه) و زیرمعیارها برای مقایسه عناصر به کار می روند(زیاری و همکاران، ۱۳۸۶، ۱۲۷). برخی از کاربردهای فرآیند تحلیل شبکه ای، گسترش کارکرد کیفیت، کیفیت خدمات، انتخاب پروژه، ارزیابی تأمین کنندگان، مدیریت دانش، کارایی سازمان، آنالیز نقاط قوت، ضعف، فرصت و تهدید، داده کاوی و تولید ناب را در بر می گیرد(دهقانی سانیج و محمودی، ۱۳۹۰، ۳۳۱).

شکل (۳) تفاوت ساختاری بین دو روش تحلیل سلسله مراتبی و تحلیل شبکه ای را نشان می دهد. ارتباطات در یک شبکه به وسیله کمان نشان داده می شود. جهت کمان ها دلالت برجهت وابستگی دارد(فرجی سبکبار، ۱۳۹۰، ۱۵۲). همان طور که در تصویر مشاهده می شود، در ساختار سلسله مراتبی ابتدا یک هدف یا یک گره واقع شده که در انتهای به یک گره یا خوشه مقصد ختم می گردد. بنابراین در آن ساختاری خطی، از بالا به پایین و بدون بازگشت از سطوح پایین تر و یا بالاتر وجود دارد. ولی در حالت شبکه ای، یک شبکه و خوشه هایش به صورت منظم توزیع نمی شوند(داداش پور و همکاران، ۱۳۹۱).



شکل ۳: مقایسه تحلیل سلسله مراتب و تحلیل شبکه (SAATY, 2004: 132)

یافته‌ها و بحث

اجرای مدل *ANP* در پهنه‌بندی زمین‌لغزش

مدل‌سازی فرآیند تحلیل شبکه‌ای مشتمل بر ۵ مرحله می‌باشد که در ادامه به توضیح آن‌ها پرداخته می‌شود.

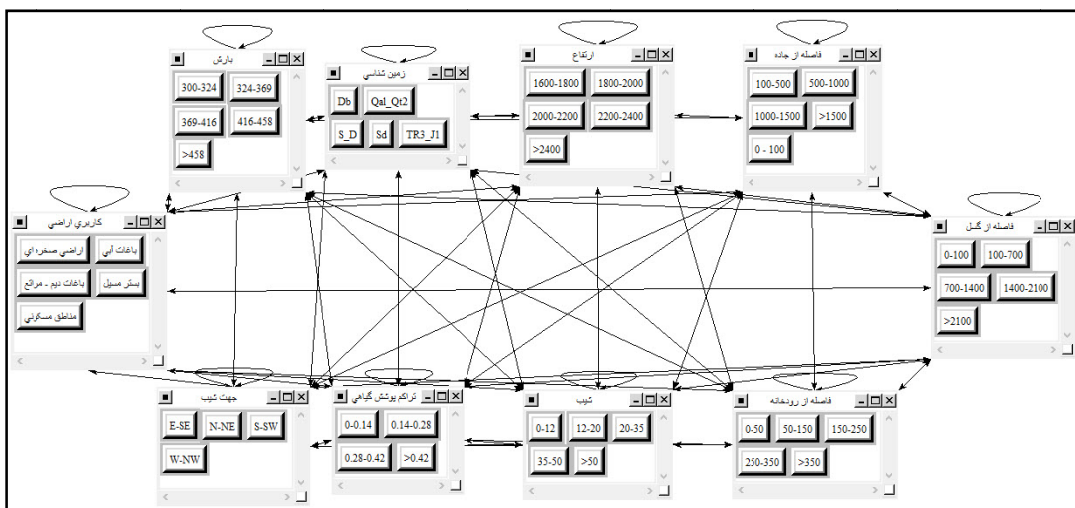
مرحله اول: تدوین ساختمان مدل و ساختار مسئله

مسئله تحقیق بایستی به روشنی تبیین شده و به صورت یک سیستم منطقی و عقلانی، مانند شبکه تجزیه شود. ساختمان کلی تحقیق در شکل (۴) بیان شده است که شامل هدف، معیارها و زیرمعیارها می‌باشد.

با توجه به معیارهای مؤثر در وقوع زمین‌لغزش که در این پژوهش در نظر گرفته شده‌اند، ساختار مدل تشکیل شد. عناصر هر خوش علاوه بر وابستگی درونی با عناصر خواهه‌های دیگر دارای وابستگی بیرونی می‌باشند. شکل (۵) ساختار شبکه‌ای زمین‌لغزش را نمایش می‌دهد.

پهنه‌بندی زمین‌لغزش								
افتراق	بارش	شیب	جهت شیب	زمین‌شناسی	توکیم پوشش گاهی	کاربری اراضی	فاصله از رودخانه	فاصله از جاده
۱۶۰۰-۱۸۰۰	۳۰۰-۳۲۴	-۰-۱۲	- شمال شرق	سری مایان	-۰-۰/۱۴	اراضی صحره‌ای	-۰-۵۰	-۰-۱۰۰
۱۸۰۰-۲۰۰۰	۳۲۴-۳۶۹	-۱۲-۲۰	- شرق	سازند بهرام	-۰/۱۴-۰/۲۸	پالات آنتی	-۵۰-۱۵۰	-۱۰۰-۵۰۰
۲۰۰۰-۲۲۰۰	۳۶۹-۴۱۶	-۲۰-۲۵	- جنوب شرق	مانهست و انت‌الاستهانی	-۰/۲۸-۰/۴۲	بستر مسیل	-۱۵۰-۲۵۰	-۷۰۰-۱۴۰۰
۲۲۰۰-۲۴۰۰	۴۱۶-۴۵۸	-۲۵-۵۰	- جنوب غرب	هاله سینک	-۰/۴۲	مناطق مسکونی	-۲۵۰-۳۵۰	-۱۴۰۰-۲۱۰۰
+۲۴۰۰	+۴۵۸	+۵۰	- غرب	کوارتزیت	-	پالات دیلم	+۳۵۰	+۳۱۰۰
			- شمال غرب	بسگی احکم	-	مرانع	-	+۱۵۰۰
			- توپان‌های جوان	آبرفت جدید	-	-	-	-

شکل ۴: ساختمان کلی تحقیق



شکل ۵: ساختار شبکه‌ای مدل پهنه‌بندی زمین‌لغزش

مرحله دوم: انجام مقایسه زوجی و برآورد وزن نسبی

در *ANP* اندازه‌گیری مقادیر اهمیت نسبی مانند AHP، با مقایسه زوجی و به کمک طیف ۱ تا ۹ انجام می‌گیرد. (قنبیری و روستایی، ۱۳۹۲، ۳۴۶). در این فرآیند، بالاترین ارجحیت به لایه‌ای تعلق می‌گیرد که حداقل تأثیر را در تعیین هدف دارد. در ارجحیت‌بندی معیارها از قضاوت‌های شفاهی که به صورت مقایسه‌ای بین فاکتورها صورت

می‌گیرد، استفاده می‌شود(رحیمی و موسوی، ۱۳۹۲، ۱۴۸). در جدول زیر(۱) میزان اهمیت فاکتورها با توجه اعداد در مقایسه زوجی بیان شده است.

جدول ۱: مقایسه زوجی در تحلیل شبکه‌ای

۹	۸	۷	۶	۵	۴	۳	۲	۱	مقدار عددی
اهمیت فوق العاده قوی	از اهمیت خیلی قوی تا اهمیت فوق العاده قوی	اهمیت خیلی قوی	از اهمیت قوی تا اهمیت خیلی قوی	اهمیت قوی	اهمیت متوسط تا اهمیت قوی	اهمیت متوسط	اهمیت برابر تا اهمیت متوسط	اهمیت برابر	درجه اهمیت

منبع (محمودزاده و همکاران، ۱۳۹۴: ۱۷۴)

نمره a_{ij} در ماتریس مقایسه زوجی نشان‌دهنده اهمیت نسبی مؤلفه در سطر (i) بر مؤلفه در ستون (j) می‌باشد. به عنوان مثال $w_i = w_j = a_{ij}$ (نیوپان و پیانتاناكول چای، ۲۰۰۶، ۲۸۴). از ارزش معکوس $(1/a_{ij})$ زمانی استفاده می‌شود که j مهم‌تر از مؤلفه i باشد. اگر n مؤلفه وجود داشته باشد، در این صورت n مؤلفه باهم مقایسه خواهند شد. ماتریس A در شکل (۶) نشان داده شده است(فرجی سبکبار و همکاران، ۱۳۸۹).

	C_1	C_Y		C_N
C_1	$e_{11} \ e_{12} \ \dots \ e_{1N}$	$e_{Y1} \ e_{YY} \ \dots \ e_{YN}$...	$e_{N1} \ e_{NY} \ \dots \ e_{NN}$
C_2	e_{Y1}	W_{YY}	...	W_{YN}
:
C_N	e_{N1}	W_{N1}	W_{NY}	W_{NN}

شکل ۶: قالب عمومی سوپر ماتریس A (فرجی سبکبار و همکاران، ۱۳۸۹: ۱۳۳)

نرخ سازگاری مکانیسمی است، که سازگاری مقایسه‌ها (C.R) را مشخص می‌کند. این مکانیزم نشان می‌دهد که تا چه اندازه می‌توان به اولویت‌های حاصل از اعضاء گروه یا اولویت‌های جداول ترکیب اعتماد کرد(بزرگمهر و همکاران، ۱۳۹۳، ۸۷). برای اطمینان از صحت مقایسات زوجی، نرخ سازگاری بایستی محاسبه شود. اگر CR کمتر از 0.1 باشد، مقایسات زوجی قابل قبول است در غیر این صورت کلیه وزن‌ها باید نرمالیزه شوند(عیسی‌لو و همکاران، ۱۳۹۳، ۶۰).

پس از تشکیل شبکه، وزن نسبی هر زیرمعیار از طریق مقایسه زوجی به دست آمد. به منظور اعتبارسنجی مقایسه‌ها نیاز به محاسبه ضریب سازگاری می‌باشد. یکی از مزیت‌های استفاده از نرمافزار Super Dictation محاسبه نرخ سازگاری توسط خود نرمافزار می‌باشد. در این پژوهش مقدار میزان C.R برابر با 0.07181 شده که بیانگر سازگاری لایه‌های موردنبررسی می‌باشد. بدلیل فراوانی جداول وزن کلاس‌های هر معیار و تشابه موضوعی این جداول، تنها به ذکر یک نمونه از مقایسه زوجی بسته شد. در جدول (۲) مقایسه زوجی طبقات تراکم پوشش گیاهی نشان داده شده است.

جدول ۲: مقایسه زوجی طبقات تراکم پوش‌گیاهی و وزن استاندارد شده آن‌ها

	0-0.14	0.14-0.28	0.28-0.42	>0.42
0-0.14	1	8	9	8
0.14-0.28	0.12	1	3	3
0.28-0.42	0.11	0.33	1	1
>0.42	0.12	0.33	1	1

مرحله سوم: تشکیل سوپرماتریس اولیه

منظور از سوپرماتریس در فرآیند تحلیل شبکه‌ای، ماتریس جزء‌بندی شده‌ای است که هر زیر ماتریس آن، از مجموعه‌ای از روابط بین دو عنصر یا خوشه در ساختار شبکه‌ای به وجود آمده باشد(عشورتزاد و همکاران، ۱۳۹۰: ۶). عناصر ANP با یکدیگر در تعامل قرار دارند. این عناصر می‌توانند واحد تصمیم‌گیرنده، معیارها، زیرمعیارها، نتایج حاصل، گزینه‌ها و هر چیز دیگری باشند. وزن نسبی هر ماتریس بر اساس مقایسه زوجی شبیه روش AHP محاسبه می‌شود، وزن‌های حاصل در سوپرماتریس وارد می‌شوند که رابطه متقابل بین عناصر سیستم را نشان می‌دهند. قالب عمومی سوپرماتریس در شکل (۶) نشان داده شده است. در این تصویر CN نشان‌دهنده خوشه N^A ، eNn عنصر n^A در خوشه N^A ماتریس Wij بلوک شامل وزن‌های نسبی بردارهای W تأثیر عناصر در خوشه A^m نسبت به خوشه A^m است. اگر خوشه A^m هیچ تأثیری بر خوشه A^m خودش نداشته باشد (حالت وابستگی داخلی)، Wij صفر می‌شود(فرجی سبکبار، ۱۳۹۰: ۱۵۵). جدول (۳) بخشی از سوپرماتریس اولیه را نمایش می‌دهد.

جدول ۳: سوپرماتریس اولیه

		ارتفاع				
		۱۸۰۰-۱۸۰۰	۱۸۰۰-۲۰۰۰	۲۰۰۰-۲۲۰۰	۲۲۰۰-۲۴۰۰	>۲۴۰۰
۱	۱۸۰۰-۱۸۰۰	0/138801	0/138801	0/138801	0/138801	0/138801
	۱۸۰۰-۲۰۰۰	0/425025	0/425025	0/425025	0/425025	0/425025
	۲۰۰۰-۲۲۰۰	0/321243	0/321243	0/321243	0/321243	0/321243
	۲۲۰۰-۲۴۰۰	0/083394	0/083394	0/083394	0/083394	0/083394
	>۲۴۰۰	0/031737	0/031737	0/031737	0/031737	0/031737
۲	۱۸۰۰-۱۸۰۰	0/052108	0/052108	0/052108	0/052108	0/052108
	۱۸۰۰-۲۰۰۰	0/029259	0/029259	0/029259	0/029259	0/029259
	۲۰۰۰-۲۲۰۰	0/335789	0/335789	0/335789	0/335789	0/335789
	۲۲۰۰-۲۴۰۰	0/382898	0/382898	0/382898	0/382898	0/382898
	>۲۴۰۰	0/190149	0/190149	0/190149	0/190149	0/190149
۳	۱۸۰۰-۱۸۰۰	0/113701	0/113701	0/113701	0/113701	0/113701
	۱۸۰۰-۲۰۰۰	0/088813	0/088813	0/088813	0/088813	0/088813
	۲۰۰۰-۲۲۰۰	0/194842	0/194842	0/194842	0/194842	0/194842
	۲۲۰۰-۲۴۰۰	0/049895	0/049895	0/049895	0/049895	0/049895
	>۲۴۰۰	0/032595	0/032595	0/032595	0/032595	0/032595

مرحله چهارم: تشکیل سوپرماتریس وزنی

حال برای اینکه این ابرماتریس به ابرماتریس وزنده‌ی شده مبدل گردد لازم است تا ابرماتریسی ایجاد نمود که جمع ستون‌های آن برابر با یک باشد (که از آن با عنوان ماتریس تصادفی یاد می‌شود). این ماتریس از حاصل داده‌های ماتریس خوشه‌ای در ابرماتریس وزنده‌ی نشده و نرمالیزه نمودن ماتریس حاصل شده بدست می‌آید(داداش‌پور و همکاران، ۱۳۹۱، ۱۱۸). جدول (۴) این سوپرماتریس را نشان می‌دهد.

جدول ۳: سوپرماتریس وزنی

		لرگ				
		۱۶۰۰-۱۸۰۰	۱۸۰۰-۲۰۰۰	۲۰۰۰-۲۲۰۰	۲۲۰۰-۲۴۰۰	>۲۴۰۰
۱	۱۶۰۰-۱۸۰۰	۰۰۱۰۷۹۲	۰۰۱۰۷۹۲	۰۰۱۰۷۹۲	۰۰۱۰۷۹۲	۰۰۱۰۷۹۲
	۱۸۰۰-۲۰۰۰	۰۰۳۳۰۸۳	۰۰۳۳۰۸۳	۰۰۳۳۰۸۳	۰۰۳۳۰۸۳	۰۰۳۳۰۸۳
	۲۰۰۰-۲۲۰۰	۰۰۲۵۰۱۲	۰۰۲۵۰۱۲	۰۰۲۵۰۱۲	۰۰۲۵۰۱۲	۰۰۲۵۰۱۲
	۲۲۰۰-۲۴۰۰	۰۰۰۶۴۹۳	۰۰۰۶۴۹۳	۰۰۰۶۴۹۳	۰۰۰۶۴۹۳	۰۰۰۶۴۹۳
	>۲۴۰۰	۰۰۰۲۴۷۱	۰۰۰۲۴۷۱	۰۰۰۲۴۷۱	۰۰۰۲۴۷۱	۰۰۰۲۴۷۱
۲	-۱۲	۰۰۰۰۸۵۳	۰۰۰۰۸۵۳	۰۰۰۰۸۵۳	۰۰۰۰۸۵۳	۰۰۰۰۸۵۳
	۱۱۱۷	۰۰۰۰۳۶۶	۰۰۰۰۳۶۶	۰۰۰۰۳۶۶	۰۰۰۰۳۶۶	۰۰۰۰۳۶۶
	T-Tz	۰۰۰۴۲۰۸	۰۰۰۴۲۰۸	۰۰۰۴۲۰۸	۰۰۰۴۲۰۸	۰۰۰۴۲۰۸
	Tz-A	۰۰۰۴۹۱۹	۰۰۰۴۹۱۹	۰۰۰۴۹۱۹	۰۰۰۴۹۱۹	۰۰۰۴۹۱۹
	>A	۰۰۰۲۳۸۲	۰۰۰۲۳۸۲	۰۰۰۲۳۸۲	۰۰۰۲۳۸۲	۰۰۰۲۳۸۲
۳	- - ۱۰۰	۰۰۲۳۲۳۳	۰۰۲۳۲۳۳	۰۰۲۳۲۳۳	۰۰۲۳۲۳۳	۰۰۲۳۲۳۳
	۱۰۰-۱۵۰	۰۱۲۴۴۲۱	۰۱۲۴۴۲۱	۰۱۲۴۴۲۱	۰۱۲۴۴۲۱	۰۱۲۴۴۲۱
	۱۵۰-۲۰۰	۰۰۳۹۸۱۳	۰۰۳۹۸۱۳	۰۰۳۹۸۱۳	۰۰۳۹۸۱۳	۰۰۳۹۸۱۳
	۲۰۰-۲۵۰	۰۰۱۰۲۰۸	۰۰۱۰۲۰۸	۰۰۱۰۲۰۸	۰۰۱۰۲۰۸	۰۰۱۰۲۰۸
	>۲۵۰	۰۰۰۶۸۶	۰۰۰۶۸۶	۰۰۰۶۸۶	۰۰۰۶۸۶	۰۰۰۶۸۶

مرحله پنجم: محاسبه بردار وزنی عمومی

در مرحله بعد، سوپرماتریس وزنی، به توان حدی می‌رسد تا عناصر ماتریس همگرا شده و مقادیر سطحی آن باهم برابر شوند. بر اساس ماتریس به دست آمده، بردار وزن عمومی مشخص می‌شود (مکانیکی و سادقی، ۱۳۹۱، ۱۲۸). به عبارتی بهمنظور همگرا شدن مقادیر سوپرماتریس وزنی، تا زمانی که تمام عناصر یکسان شوند، مقادیر به توان می‌رسند. در جدول (۵) قسمتی از سوپرماتریس حد آورده شده است.

جدول ۵: سوپرماتریس حد

		لرگ				
		۱۶۰۰-۱۸۰۰	۱۸۰۰-۲۰۰۰	۲۰۰۰-۲۲۰۰	۲۲۰۰-۲۴۰۰	>۲۴۰۰
۱	۱۶۰۰-۱۸۰۰	۰۰۱۰۷۹۲	۰۰۱۰۷۹۲	۰۰۱۰۷۹۲	۰۰۱۰۷۹۲	۰۰۱۰۷۹۲
	۱۸۰۰-۲۰۰۰	۰۰۳۳۰۸۳	۰۰۳۳۰۸۳	۰۰۳۳۰۸۳	۰۰۳۳۰۸۳	۰۰۳۳۰۸۳
	۲۰۰۰-۲۲۰۰	۰۰۲۵۰۱۲	۰۰۲۵۰۱۲	۰۰۲۵۰۱۲	۰۰۲۵۰۱۲	۰۰۲۵۰۱۲
	۲۲۰۰-۲۴۰۰	۰۰۰۶۴۹۳	۰۰۰۶۴۹۳	۰۰۰۶۴۹۳	۰۰۰۶۴۹۳	۰۰۰۶۴۹۳
	>۲۴۰۰	۰۰۰۲۴۷۱	۰۰۰۲۴۷۱	۰۰۰۲۴۷۱	۰۰۰۲۴۷۱	۰۰۰۲۴۷۱
۲	-۱۲	۰۰۰۰۸۷۸	۰۰۰۰۸۷۸	۰۰۰۰۸۷۸	۰۰۰۰۸۷۸	۰۰۰۰۸۷۸
	۱۱۱۷	۰۰۰۰۶۰۵	۰۰۰۰۶۰۵	۰۰۰۰۶۰۵	۰۰۰۰۶۰۵	۰۰۰۰۶۰۵
	T-Tz	۰۰۰۴۱۴۸	۰۰۰۴۱۴۸	۰۰۰۴۱۴۸	۰۰۰۴۱۴۸	۰۰۰۴۱۴۸
	Tz-A	۰۰۰۴۷۷۷	۰۰۰۴۷۷۷	۰۰۰۴۷۷۷	۰۰۰۴۷۷۷	۰۰۰۴۷۷۷
	>A	۰۰۰۲۳۱۷	۰۰۰۲۳۱۷	۰۰۰۲۳۱۷	۰۰۰۲۳۱۷	۰۰۰۲۳۱۷
۳	- - ۱۰۰	۰۰۲۶۱۶۴	۰۰۲۶۱۶۴	۰۰۲۶۱۶۴	۰۰۲۶۱۶۴	۰۰۲۶۱۶۴
	۱۰۰-۱۵۰	۰۱۲۲۳۴۹	۰۱۲۲۳۴۹	۰۱۲۲۳۴۹	۰۱۲۲۳۴۹	۰۱۲۲۳۴۹
	۱۵۰-۲۰۰	۰۰۳۹۸۱۳	۰۰۳۹۸۱۳	۰۰۳۹۸۱۳	۰۰۳۹۸۱۳	۰۰۳۹۸۱۳
	۲۰۰-۲۵۰	۰۰۱۰۲۰۵	۰۰۱۰۲۰۵	۰۰۱۰۲۰۵	۰۰۱۰۲۰۵	۰۰۱۰۲۰۵
	>۲۵۰	۰۰۰۶۷۷۶	۰۰۰۶۷۷۶	۰۰۰۶۷۷۶	۰۰۰۶۷۷۶	۰۰۰۶۷۷۶

در آخر با توجه به جدول سوپرماتریس حد، وزن نهایی هر معیار و زیرمعیار محاسبه می‌شود. در جدول (۶) اوزان نهایی زیرمعیارها و جدول (۷) اوزان نهایی معیارها درج گردیده است.

جدول ۶: وزن نهایی زیرمعیارها

معیار	زیرمعیار	وزن نهایی	معیار	زیرمعیار	وزن نهایی	معیار	زیرمعیار	وزن نهایی		
ارتفاع	۱۶۰۰-۱۸۰۰	۰/۰۱۱۰۸۵	شیب	-۱۲	۰/۰۰۶۸۱	کاربری اراضی	راضی صخره‌ای	۰/۰۵۴۸۷۳		
	۱۸۰۰-۲۰۰۰	۰/۰۳۲۰۹		۱۲-۲۰	۰/۰۰۶۰۳		باغات آبی	۰/۰۲۰۲۷		
	۲۰۰۰-۲۲۰۰	۰/۰۲۵۲۸۱		۲۰-۳۵	۰/۰۰۴۱۴۶		قات دیم - مرات	۰/۰۱۹۷		
	۲۲۰۰-۲۴۰۰	۰/۰۰۶۷۳۴		۳۵-۵۰	۰/۰۰۴۷۶۹		بستر مسیل	۰/۰۰۹۸۱۱		
	>۲۴۰۰	۰/۰۰۲۵۵۲		>۵۰	۰/۰۰۲۳۲۶		مناطق مسکونی	۰/۰۰۹۸۱۱		
بارش	۳۰۰-۳۲۴	۰/۰۰۴۸۷۱	فاصله از جاده	-۱۰۰	۰/۰۲۹۸۴۵	فاصله از گسل	-۱۰۰	۰/۰۰۷۹۶۶		
	۳۲۴-۳۶۹	۰/۰۳۱۵۱۵		۱۰۰-۵۰۰	۰/۰۱۰۴۵۳		۱۰۰-۳۰۰	۰/۰۴۲۳۳۳		
	۳۶۹-۴۱۶	۰/۰۳۰۸۹		۵۰۰-۱۰۰۰	۰/۰۰۵۲۲۳۱		۳۰۰-۶۰۰	۰/۰۱۳۹۴۹		
	۴۱۶-۴۵۸	۰/۰۰۹۴۵۷		۱۰۰۰-۱۵۰۰	۰/۰۱۳۱۱۱		۶۰۰-۱۰۰۰	۰/۰۰۷۰۰۹		
	>۴۵۸	۰/۰۰۲۵۸۹		>۱۵۰۰	۰/۰۰۸۶۹۲		>۱۰۰۰	۰/۰۰۴۶۱۵		
زمین‌شناسی	Db	۰/۰۰۷۸۸۹	جهت شیب	E-SE	۰/۰۱۲۶۰۹	فاصله از رودخانه	-۵۰	۰/۱۱۴۸۲		
	Qal_Qt	۰/۰۰۲۹۲۹		N-NE	۰/۰۰۳۷۷۴		۵۰-۱۵۰	۰/۰۷۹۹۹۹		
	S_D	۰/۰۰۲۹۲۹		S-SW	۰/۰۰۴۱۷۸		۱۵۰-۲۵۰	۰/۰۱۳۱۱۳		
	Sd	۰/۰۰۲۷۹۹		W-NW	۰/۰۰۹۷۷		۲۵۰-۳۵۰	۰/۰۱۳۱۱۳		
	TR _۲ _J1	۰/۰۲۲۳۱۵		-۰۰/۱۴	۰/۰۳۶۷۹۶		>۳۵۰	۰/۰۱۳۱۱۳		
تراکم پوشش گیاهی										
-										
۰/۱۴-۰/۲۸										
۰/۲۸-۰/۴۲										
>۰/۴۲										
۰/۰۰۳۹۴										

جدول ۷: وزن نهایی معیارها

معیار	وزن نهایی
ارتفاع	۰/۰۷۷۸۶۱
بارش	۰/۰۸۱۵۲۲
تراکم پوشش گیاهی	۰/۰۵۴۵۹۵
جهت شیب	۰/۰۲۱۵۳۸
زمین‌شناسی	۰/۰۴۸۸۶
شیب	۰/۰۱۲۵۲۵
فاصله از جاده	۰/۲۰۴۳۳۲
فاصله از رودخانه	۰/۲۲۸۱۵۸
فاصله از گسل	۰/۰۷۳۸۷۲
کاربری اراضی	۰/۱۹۶۷۳۵

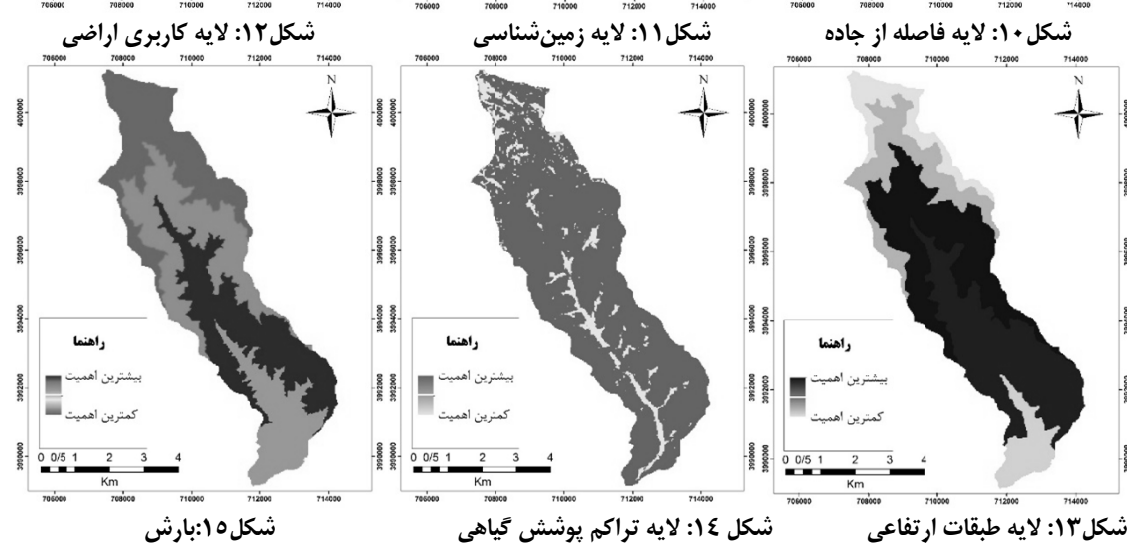
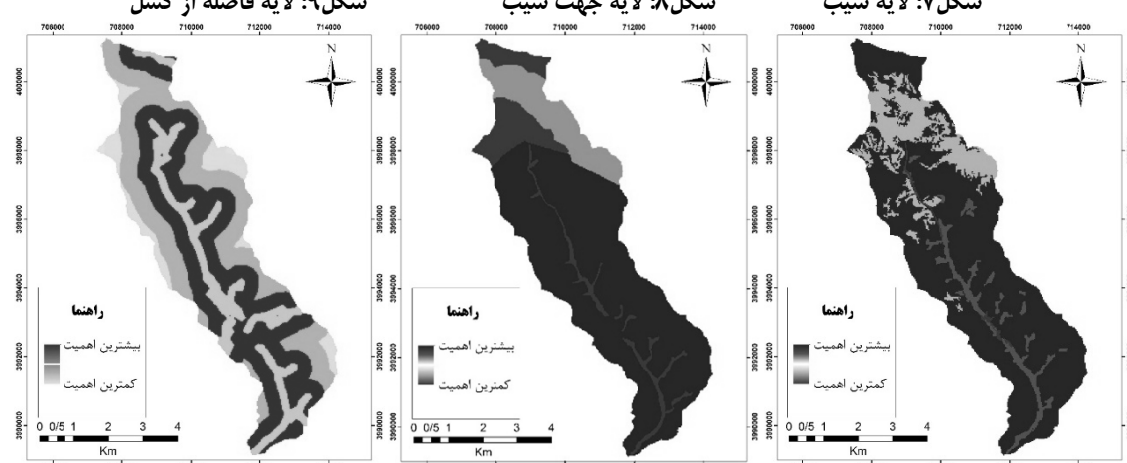
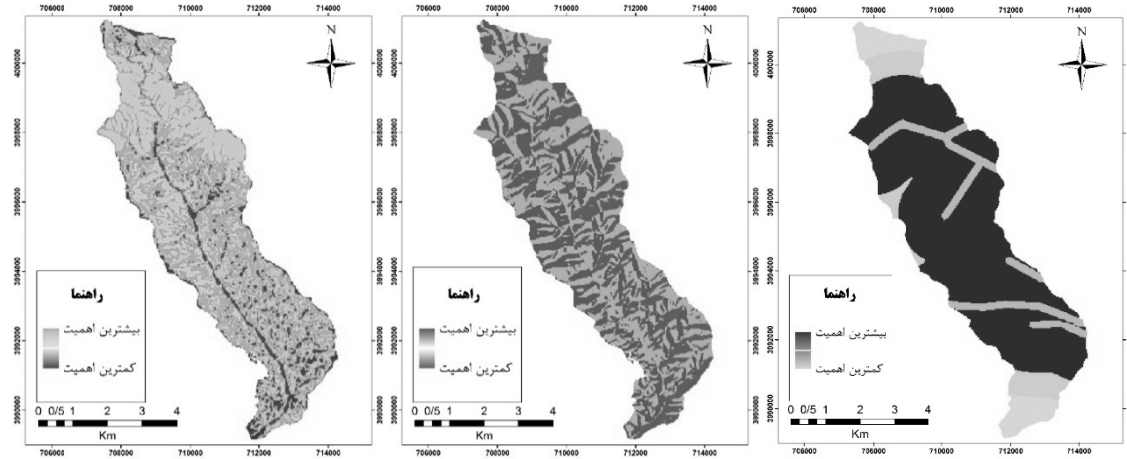
آمده‌سازی لایه‌ها

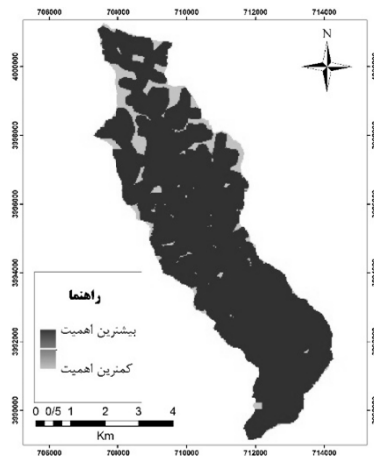
بعد از طی مراحل مرتب با مدل تحلیل شبکه‌ای و به دست آوردن وزن هر معیار و عناصر آن، نوبت به آمده‌سازی لایه‌ها می‌رسد. همان‌طور که گفته شد در این تحقیق از ۱۰ معیار مؤثر در زمین‌لغزش استفاده شده است. لذا برای هر یک از آن‌ها در محیط GIS لایه‌ای تعریف گردید. در رابطه با لایه‌های فاصله‌ای، ازتابع Distance به منظور تعیین میزان فاصله استفاده گردید.

پردازش و تلفیق داده‌ها

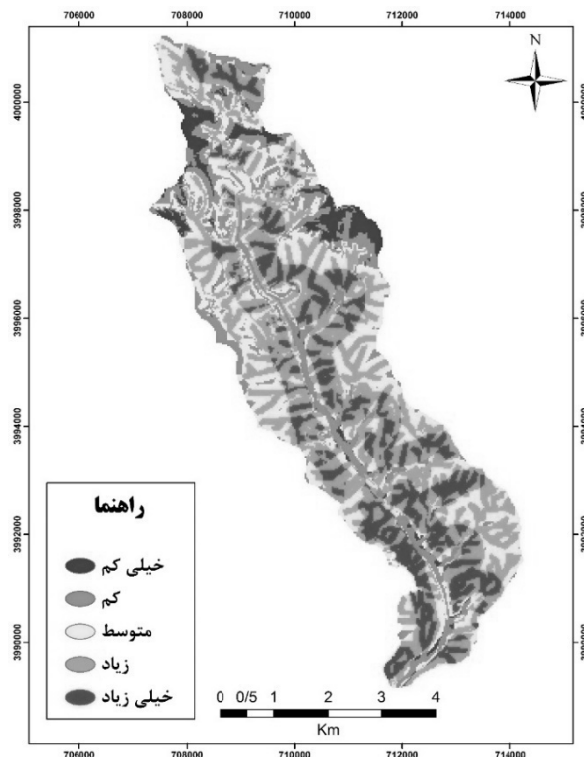
در گام بعد، بر اساس وزن کلاس‌های هر لایه که درنتیجه انجام مقایسه‌های زوجی حاصل شده، تمام داده‌ها در محیط GIS به لایه‌هایی با فرمت رستر تبدیل شدند. مجموع این لایه‌ها در اشکال زیر آمده است. درنهایت، نقشه پهنه‌بندی

زمین‌لغزش به صورت فرمت رستری و از طریق عملیات تلفیق لایه‌ها تهیه گردید و به منظور ارائه نتایج بهتر، کل منطقه با استفاده از روش شکستهای طبیعی (Natural Breaks) به ۵ کلاس از خیلی کم تا خیلی زیاد تقسیم‌بندی شد. شکل (۱۷) نقشه پهنه‌بندی زمین‌لغزش و جدول (۸) درصد مساحت پهنه‌های لغزشی و درصد زمین‌لغزش‌ها در هر پهنه را نمایش می‌دهد.





شکل ۱۶: لایه فاصله از رودخانه



شکل ۱۷: پهنه‌بندی زمین‌لغزش

جدول ۸: درصد مساحت پهنه‌های و درصد زمین‌لغزش در هر پهنه

طبقه	مساحت		زمین‌لغزش	
	کیلومترمربع	درصد مساحت	تعداد	درصد
خیلی کم	۱/۱۸	۳/۸۵	۰	۰
کم	۴/۶۶	۱۵/۱۹	۵	۱۶/۱۳
متوسط	۸/۲۵	۲۶/۹	۶	۱۹/۳۵
زیاد	۱۱/۲۵	۳۶/۶۸	۱۲	۳۸/۷۱
خیلی زیاد	۵/۳۳	۱۷/۳۸	۸	۲۵/۸۱

نتیجه‌گیری

در این تحقیق، پهنه‌بندی خطر زمین‌لغزش برای شناسایی مناطق دارای پتانسیل لغزش در حوضه پیوهزن انجام گرفت. این حوضه واقع در دامنه جنوبی رشته‌کوه بیانالود، متشکل از سازندهای آهکی (سازند بهرام)، سری مایان، سازندهای نئوژن و... می‌باشد که فرایندهای جریانی و رودخانه‌ای از مهم‌ترین فرایندهای این منطقه کوهستانی می‌باشد. نقشه پهنه‌بندی بر اساس لایه‌های اطلاعاتی ۱۰ عامل: ارتفاع، بارش، شیب، جهت شیب، زمین‌شناسی، تراکم پوشش گیاهی، کاربری اراضی، فاصله از جاده، فاصله از رودخانه و فاصله از گسل با استفاده از مدل تحلیل شبکه (ANP) تهیه گردید. نقشه نهایی به دست آمده از تلفیق لایه‌های مختلف به ۵ طبقه: خیلی کم، کم، متوسط، زیاد و خیلی زیاد تقسیم شده است. در این‌بین، ۵۴/۶ درصد مساحت حوضه را پهنه‌های خطر خیلی زیاد و زیاد تشکیل داده که ۶۴/۵ درصد (۲۱ زمین‌لغزش) از نقاط لغزشی در این پهنه‌ها قرار دارد. نتایج حاصل از این مدل در حوضه مطالعاتی نشان می‌دهد که عوامل فاصله از رودخانه و فاصله از جاده به ترتیب بیشترین امتیاز وزنی (۰.۲۲۸ و ۰.۲۰۴) و شیب و جهت شیب کمترین وزن (۰.۰۱۲) را در حوضه مورد مطالعه به خود اختصاص دادند. از تعداد ۳۱ زمین‌لغزش رخداده در کل حوضه مطالعاتی، ۱۷ زمین‌لغزش در فاصله ۰-۵۰ متری و ۱۴ زمین‌لغزش دیگر در فاصله ۱۵۰-۵۰ متری از رودخانه به وقوع پیوسته است که نشان از تأثیر مستقیم و مهم فرسایش و زیر شویی رودخانه می‌باشد. همچنین فعالیت‌های انسانی نظیر جاده‌سازی در حوضه موردنظر خطر وقوع زمین‌لغزش را چندین برابر نموده است بطوریکه ۲۲ زمین‌لغزش در فاصله ۰ تا ۵۰۰ متری از راه‌های ارتباطی، اتفاق افتاده و راه‌ها را مورد هجوم خود قرارداده‌اند. از طرفی فاکتورهای شیب و جهت شیب در حوضه مطالعاتی تأثیر کمتری را بر وقوع زمین‌لغزش داشته‌اند.

مدل ANP با توجه به در نظر گرفتن وابستگی‌های درونی و بیرونی و جلوگیری از تأثیر مستقیم نظر کارشناسان می‌تواند به عنوان مدلی مناسب و کارآمد برای پیش‌بینی پدیده لغزش کارایی داشته باشد. نتایج مطالعات محققانی نظیر نیوپان (۲۰۰۶)، فتحی و همکاران (۲۰۱۵)، مقیمی و همکاران (۱۳۹۲) نیز تأکیدی بر مناسب بودن مدل (ANP) برای پیش‌بینی پدیده لغزش می‌باشد. در نهایت، پیشنهاد می‌شود هرگونه برنامه‌ریزی و کاربری اراضی در این منطقه، با توجه به نقشه پهنه‌بندی خطر تهیه‌شده صورت گیرد.

منابع

- ایزدی، زهرا، انتظاری، مژگان، ۱۳۹۲، زمین‌لغزش‌های ایران معرفی، عوامل و مدیریت، مجله رشد آموزش جغرافیا ، دوره ۲۷ ، شماره ۴
- بزرگمهر، کیا، حکیم‌دوست، سیدی‌اسر، محمدپورزیدی، علی، صیدی، زهرا، ۱۳۹۳، مکان‌یابی بهینه محل دفن مواد زائد جامد شهری با استفاده از مدل (AHP) و سیستم اطلاعات جغرافیایی (مطالعه موردی: شهرستان تنکابن) ، فصلنامه اطلاعات جغرافیایی، دوره ۲۳، شماره ۹۱، صص ۸۱-۸۸
- پورهاشمی، سیما، امیراحمدی، ابواقسام، اکبری، الهه، ۱۳۹۳، انتخاب مدل مناسب از بین روش‌های آماری دومتغیره جهت پهنه‌بندی خطر زمین‌لغزش در محیط GIS مطالعه موردی: حوضه آبخیز بقیع، مطالعات جغرافیایی مناطق خشک، سال چهارم، شماره پانزدهم، بهار ۱۳۹۳ صص ۷۱-۸۹
- جوادیان کوتایی، سارا، ملماسی، سعید، اورک، ندا، مرشدی، جعفر، ۱۳۹۳، تدوین الگوی ارزیابی توان اکولوژیک توسعه شهری با بهره‌گیری از فرآیند تحلیل شبکه‌ای (ANP) (نمونه موردی: شهرستان ساری) ، آمایش سرزمین، دوره ششم، شماره اول، صص ۱۵۳-۱۷۸
- داداش‌پور، هاشم، خدابخش، حمیدرضا، رفیعیان، مجتبی، ۱۳۹۱، تحلیل فضایی و مکان‌یابی مراکز اسکان موقت با استفاده از تلفیق فرآیند تحلیل شبکه‌ای (ANP) و سامانه اطلاعات جغرافیایی (GIS) ، مجله جغرافیا و مخاطرات محیطی، شماره اول، صص ۱۱۱-۱۳۱.

- دھقانی سانیج، جلال، محمودی، حسن، ۱۳۹۰، شناسایی و رتبه‌بندی معیارهای مؤثر بر مکان‌یابی کتابخانه‌های عمومی با استفاده از ANP فازی، مجله کتابداری و اطلاع‌رسانی، شماره ۵۳، صص ۳۴۵-۳۱۹.
- رحمی، داریوش، موسوی، سید. حjt، ۱۳۹۲، پتانسیل‌یابی منابع آب زیرزمینی با استفاده از مدل AHP و تکنیک GIS (مطالعه موردی: حوضه آبخیز شاهروド - بسطام)، جغرافیا و برنامه‌ریزی، سال ۱۷، شماره ۴۴، صص ۱۵-۱۳۹.
- رمضانی، بهمن، ابراهیمی، هدی، ۱۳۸۸، شناخت عوامل مؤثر زمین‌لغزش در حوضه آبخیز سد بزنگستانک قائم شهر، فصلنامه علمی پژوهشی جغرافیای انسانی، سال اول، شماره چهارم، صص ۱۳۶-۱۲۷.
- روستایی شهرام، خدائی قشلاق، لیلا، خدائی قشلاق، فاطمه، ۱۳۹۳، ارزیابی روش‌های تحلیل شبکه (ANP) و تحلیل چندمعیاره‌ی مکانی در بررسی پتانسیل وقوع زمین‌لغزش در محدوده‌ی محور و مخزن سدها (مطالعه موردی: سد قلعه چای)، پژوهش‌های جغرافیای طبیعی، دوره ۴۶، شماره ۴، صص ۴۹۵-۵۰۸.
- زارع، محمد، احمدی، حسن، غلامی، شعبانعلی، ۱۳۸۹، ارزیابی خطر زمین‌لغزش با استفاده از فرآیند تصمیم‌گیری چند معیاره و سامانه اطلاعات جغرافیای (GIS) (مطالعه موردی، حوزه آبخیز واژ)، فصلنامه علمی تخصصی اکوسيستم‌های طبیعی ایران، سال اول، شماره دوم، زمستان ۱۳۸۹ صص ۱۶۸-۱۷۹.
- زبردست، اسفندیار، ۱۳۸۹، کاربرد فرآیند تحلیل شبکه‌ای (ANP) در برنامه‌ریزی شهری و منطقه‌ای، نشریه هنرهای زیبا - معماری و شهرسازی، شماره ۴۱، صص ۹۰-۷۹.
- زياري، كرامت الله، اكابرپور سراسکانرود، محمد، سلامي، هادي، عابدينی، اصغر، ۱۳۸۶، بررسی تطبیقی دلایل عدم تحقق اهداف شهرهای جدید در ایران با به کار گیری روش ANP، جغرافیا، دوره جدید، سال پنجم، شماره ۱۲ و ۱۳، صص ۱۳۹-۱۱۷.
- سلطانی، علی، طالبی اردکانی، طبیه، ۱۳۹۲، بررسی نظام توزیع فضایی و تحلیل مکان‌گزینی پایانه‌های حمل و نقل اتوبوسرانی درون‌شهری شیراز با استفاده از تکنیک فرآیند تحلیل شبکه‌ای (ANP)، مطالعات و پژوهش‌های شهری و منطقه‌ای، سال پنجم، شماره هجدهم، صص ۱۲۲-۱۰۷.
- عشورنژاد، غدیر، فرجی سبکبار، حسن. علی، علوی‌پناه، سید. کاظم، نامی، محمد. حسن، ۱۳۹۰، مکان‌یابی شعب جدید بانک‌ها و مؤسسات مالی و اعتباری با استفاده از فرآیند تحلیل شبکه‌ای فازی (Fuzzy ANP)، مجله پژوهش و برنامه‌ریزی شهری، سال دوم، شماره هفتم، صص ۱۲۰-۱۰۷.
- عظیم پور، علیرضا، صدوq، حسن، دلال اوغلی، علی، ثروتی، محمدرضا، ۱۳۸۷، ارزیابی نتایج مدل AHP در پهنه‌بندی خطر زمین‌لغزه مطالعه موردی حوضه آبریز اهر چای، مجله علمی پژوهشی فضای جغرافیایی، سال نهم شماره ۲۶ صص ۸۷-۷۱.
- عیسی‌لو، علی‌اصغر، ابراهیم‌زاده، حسین، شاهمرادی، بهزاد، ۱۳۹۳، امکان‌سنجی مداخله‌پذیری بافت‌های فرسوده و ناکارآمد شهری با استفاده از مدل تحلیل شبکه مطالعه موردی: منطقه ۶ شهر قم، جغرافیا و توسعه، شماره ۳۴، صص ۶۸-۵۷.
- فرجی سبکبار، حسن علی، سلمانی، محمد، فریدونی، فاطمه، کریم‌زاده، حسین، رحیمی، حسن، ۱۳۸۹، مکان‌یابی محل دفن بهداشتی زباله روستایی با استفاده از مدل فرایند شبکه‌ای تحلیل (ANP): مطالعه موردی نواحی روستایی شهرستان قوچان، فصلنامه مدرس علوم انسانی، دوره ۱۴، شماره ۱، صص ۱۴۹-۱۲۷.
- فرجی سبکبار، حسن علی، نصیری، حسین، حمزه، محمد، طالبی، سمیه، رفیعی، یوسف، ۱۳۹۰، تعیین عرصه‌های مناسب تغذیه مصنوعی بر پایه‌ی تلفیق روش‌های ANP و مقایسه زوجی در محیط GIS، مطالعه موردی دشت گربایگان فسا، مجله جغرافیا و برنامه‌ریزی محیطی، سال ۲۲، شماره پیاپی ۴۴، شماره ۴، صص ۱۶۶-۱۴۳.
- فیض نیا، سادات، کلارستاقی، عطالله، احمدی، حسن، صفائی، مهرداد، ۱۳۸۳، بررسی عوامل مؤثر در وقوع زمین‌لغزش‌ها و پهنه‌بندی خطر زمین‌لغزش (مطالعه موردی: حوضه آبخیز شیرینبرود سد تجن)، مجله منابع طبیعی ایران، جلد ۵۷، شماره ۱، صص ۲۲-۳.

- قبری، حکیمه، رستمی، شهریور، ۱۳۹۲، بررسی اولویت‌های برنامه‌ریزی و آمایش مناطق مرزی در استان آذربایجان شرقی با به کارگیری مدل تحلیل شبکه (ANP)، آمایش سرزمین، دوره ۵، شماره ۲، صص ۳۶۰-۳۳۵.
- محمودزاده، حسن، امامی کیا، وحید، رسولی، علی‌اکبر، ۱۳۹۴، ریزپنهانه‌بندی خطر سیلاب در محدوده شهر تبریز با استفاده از روش AHP، فصلنامه تحقیقات جغرافیایی، سال ۳۰، شماره ۱، شماره پیاپی، صص ۱۸۰-۱۶۷.
- محمودی، فرج‌الله، ۱۳۸۲، ژئومورفولوژی دینامیک، انتشارات دانشگاه تهران
- مقیمی، ابراهیم، باقری سید شکری، سجاد، صفر راد، طاهر، ۱۳۹۱، پنهانه‌بندی خطر و قوع زمین‌لغزش با استفاده از مدل آنتروپی مطالعه موردی تاقدیس نسار زاگرس شمال غربی، پژوهش‌های جغرافیای طبیعی، شماره ۷۹ بهار ۱۳۹۱ صص ۹۰-۷۷.
- مقیمی، ابراهیم، یمانی، مجتبی، رحیمی هرآبادی، سعید، ۱۳۹۲، ارزیابی و پنهانه‌بندی خطر زمین‌لغزش در شهر رودبار با استفاده از فرآیند تحلیل شبکه، پژوهش‌های ژئومورفولوژی کمی، شماره ۴، صص ۱۱۸-۱۰۳.
- مکانیکی، جواه، صادقی، حجت‌الله، ۱۳۹۱، مکان‌یابی مراکز بهداشتی - درمانی (بیمارستان‌ها) شهر بیرجند، از طریق فرآیند تحلیل شبکه‌ای (ANP) و مقایسه زوجی در محیط GIS، فصلنامه آمایش محیط، شماره ۱۹، صص ۱۴۲-۱۲۱.
- Bharat Prashad Bhatt1, Keshab Datt Awasthi1, Binod Prasad Heyojooy1, Thakur Silwall1, Gandhiv Kafle1,(2013), Using Geographic Information System and Analytical Hierarchy Process in Landslide Hazard Zonation Applied Ecology and Environmental Sciences. 1 (2). doi: 10.12691/aees-1-2-1
- Encyclopedia of geomorphology: A-I. Vol. 1, Edited by A.S. Goudie, Routledge-Taylor & Francis, 2004.
- Fathi Mohammad Hoessin, Khohdel Kazem, Amir, Kandi Shoreh, Ashrafifeini Zahra, Khaliji, Mohammad Ali (2015) The combination of spectral and spatial data in zoning of landslide susceptibility (Case study: Sangorchay reservoir) Journal of Biodiversity and Environmental Sciences (JBES) ISSN: 2220-6663 (Print) 2222-3045 (Online) Vol. 6, No. 2, p. 515-527,
- Gorsevski, P.V., Jankowski, P., and Gessler, P.E. (2006). Heuristic approach for mapping landslide hazard integrating fuzzy logic with analytic hierarchy process, Control and Cybernetics, 35: 1-26
- Khan, Sheeba, Faisal, Mohd Nishat (2008), An analytic network process model for municipal solid waste disposal options, Volume 28, Issue 9, pp 1500–1508.
- Kumar Dahal, R., (2008), Predictive Modeling of Rainfall-induced Landslide Hazard in the Lesser Himalaya of Nepal Based on Weights-of-evidence, Geomorphology, Vol. 102, PP.496-510
- Marrapu Balendra Mouli and Ravi Sankar Jakka (2014) Landslide Hazard Zonation Methods: A Critical Review International Journal of Civil Engineering Research. ISSN 2278-3652 Volume 5, Number 3, pp. 215-220
- Mohammadi, A., Heshmatpoor, A., Mosaedi, A., (2004), Study on Efficiency of an Iranian Method for Landslide Hazard Zonation in Golestan Province (Iran), Geophysical Research Abstracts, Vol. 6, PP. 10-22.
- Neaupane K.M., Piantanakulchai M.(2006) Analytic network process model for landslide hazard zonation Engineering Geology, Volume 85, Issues 3–4, 21 June 2006, Pages 281-294
- Panizza, M., (2004), Environmental Geomorphology, Encyclopedia of Geomorphology, Vol.1, P. 318-320.
- Pourghasemi,hamid Reza ,Biswajeet Pradhan Can dan Gokceoglu(2012) Application of fuzzy logic and analytical hierarchy process (AHP) to landslide susceptibility mapping at Haraz watershed, Iran Natural Hazards September 2012, Volume 63, Issue 2, pp 965-996
- . Rosenfeld, C. L., (2004), Geomorphological Hazard, Encyclopedia of Geomorphology, Vol. 1, P.423-426
- SAATY, Thomas L. (2004), Fundamentals of the analytic network process — Dependence and feedback in decision-making with a single network, Journal of Systems Science and Systems Engineering, Volume 13, Issue 2, pp 129-157.

- Sarolee, K.M. (2001), "Statistical Analysis of landslide susceptibility at Yonging, Korea, Environmental Geology, 40, pp. 1095-1113.
- Sidle, R.C., and Ochiai, H., (2006), *Landslides: Processes, Prediction, and Landuse*, Water Resource Monograph: 18, AGU books, ISSN: 0170-9600
- Tuzkaya, Gulsem, Onut, Semih, Tuzkaya, Umut R., Gulsun, Bahadir (2008), An analytic network process approach for locating undesirable facilities: An example from Istanbul, Turkey, *Environmental Management*, Volume 88, Issue 4, pp 970–983.
- Wolfslehner, Bernhard, Vacik, Harald, Lexer, Manfred J. (2005), Application of the analytic network process in multi-criteria analysis of sustainable forest management, Volume 207, Issues 1–2, pp 157–170.
- Wu Che-I, Yang Kung Hsu-, Hua Chen Chi-, Chia Kuo Li-(2014) An intelligent slope disaster prediction and monitoring system based on WSN and ANP Expert Systems with Applications, Volume 41, Issue 10, August 2014, Pages 4554-4562
- Yalcin., A., (2008), *GIS-based landslidesusceptibility mapping usinganalytical hierarchy Process and bivariate statistics in Ardesen (Turkey): Comparisons of results and confirmations*. *Journal of Catena*, No: 72; Pp. 1 – 12.